

СТМ-КОНТАКТ С ПАССИВИРОВАННОЙ ВОДОРОДОМ ПОВЕРХНОСТЬЮ КРЕМНИЯ N-ТИПА КАК ТОЧЕЧНЫЙ ОЖЕ-ТРАНЗИСТОР С ТУННЕЛЬНЫМ МОП-ЭМИТТЕРОМ

© Л.Н.Болотов, И.В.Макаренко, А.Н.Титков,
М.И.Векслер, И.В.Грехов, А.Ф.Шулекин

Физико-технический институт им. А.Ф.Иоффе Российской академии наук,
194021 Санкт-Петербург, Россия

(Поступила в Редакцию 21 августа 1995 г.)

Впервые показано, что в обратносмещенном контакте сканирующего туннельного микроскопа (СТМ) с пассивированной водородом поверхностью *n*-Si может реализовываться транзисторный режим работы. Его возникновение связано с выявленной возможностью накопления неосновных носителей (дырок) у таким образом приготовленной поверхности Si. Обнаружено, что освещение СТМ-контакта позволяет управлять инжекцией электронов в зону проводимости посредством изменения концентрации дырок у поверхности аналогично тому, как это делается в планарном Оже-транзисторе с туннельным металл-окисел-полупроводник (МОП) эмиттером. При большом смещении на туннельном зазоре имеет место инжекция горячих электронов, которые вызывают Оже-ионизацию в Si, приводящую к бистабильности СТМ-контакта и связанному с ней гистерезису. Состояние с высокой плотностью тока при этом поддерживается за счет внутреннего источника дырок — Оже-процесса. Полученные результаты показывают, что СТМ-контакт с полупроводниковой поверхностью может рассматриваться как точечная модель туннельной МОП-структурь.

В настоящее время большой интерес вызывают исследования по миниатюризации полупроводниковых приборов до нанометровых размеров, а также по развитию локальных методов их изучения. Интересные возможности в этом направлении открывают исследования туннельного контакта металлического острия сканирующего туннельного микроскопа (СТМ) с поверхностью полупроводника, являющегося фактически моделью точечной структуры металл-окисел-полупроводник (МОП). Исследования последних лет показали, что СТМ-контакт с поверхностью, на которой нет закрепления уровня Ферми, обладает свойствами, во многом аналогичными свойствам планарной структуры металл-туннельно тонкий окисел-полупроводник. Так, диодный характер вольт-амперных характеристик (ВАХ) СТМ-контакта был обнаружен в целом ряде случаев: для различно пассивированных поверхностей Si [1] и GaAs [2,3], а также чистых поверхностей (110) соединений III-V, полученных сколом в высоком вакууме [4]. Во всех случаях поведение прямых ветвей ВАХ хорошо описывалось в рамках представлений, развитых для туннельных МОП-диодов [5].

В настоящей работе впервые обращается внимание на возможность реализации в СТМ-контакте с поверхностью полупроводника также и транзисторного режима. Недавно [6] при исследовании обратных ветвей ВАХ СТМ-контакта с пассивированной поверхностью *n*-Si нами были обнаружены эффекты, не находящие объяснения в рамках диодных представлений. Наблюдался ярко выраженный гистерезис обратной ветви ВАХ, а также сверхлинейный рост обратного тока через СТМ-контакт по мере увеличения интенсивности оптического возбуждения СТМ-контакта светом из области межзонных переходов кремния.

Проведенные в настоящей работе дальнейшие исследования позволили объяснить обнаруженные нелинейные эффекты. Поведение обратных ветвей ВАХ СТМ на поверхности *n*-Si становится понятным, если рассмотреть СТМ-контакт как аналог точечного Оже-транзистора [7], в котором эмиттером служит металлическое острие СТМ, коллектором — объем полупроводника, а базой — тонкий приповерхностный слой с инверсным типом проводимости. При поданном на контакт обратном смещении этот инверсный слой возникает как результат накопления неосновных носителей — дырок — вблизи поверхности из-за дрейфа дырок в приповерхностном электрическом поле. Появление у поверхности значительных концентраций дырок приводит к увеличению напряжения на туннельном зазоре и, следовательно, к росту электронного и дырочного токов. При этом отклик тока на изменение концентрации дырок является существенно нелинейным. При достаточно высоких напряжениях на туннельном промежутке инжектируемые в полупроводник электроны становятся достаточно «горячими» и, как в Оже-транзисторе [7], оказываются способными вызывать Оже-ионизацию электронов и дырок в области пространственно-заряда (ОПЗ) у поверхности. Это приводит к резкому увеличению поступления дырок к поверхности и обуславливает переключение контакта в высокопроводящее состояние и как результат наблюдаемый гистерезис ВАХ СТМ-контакта при обратном смещении.

Оптическое возбуждение СТМ-контакта позволяет изменять концентрацию дырок у поверхности и тем самым управлять СТМ-контактом. В работе удалось детально проследить все стадии работы СТМ-контакта с пассивированной поверхностью *n*-Si в фотодиодном и транзисторном режимах.

1. Методика эксперимента и приготовление образцов

В экспериментах использовался СТМ, работающий в среднем вакууме (10^{-2} – 10^{-3} Pa) [8]. Для непрерывного оптического возбуждения СТМ-контакта в области межзонных переходов кремния применялся свет галогенной лампы накаливания (90 W), который проходил через светофильтр (КС-19) и с помощью световода вводился в вакуумную камеру СТМ. При этом плотность возбуждения поверхности Si под иглой СТМ могла достигать 400 mW/cm^2 . В работе применялось также дополнительное, накладывавшееся на непрерывное, модулированное оптическое возбуждение туннельного контакта, для чего использовался свет Ar-лазера ($\lambda = 488 \text{ nm}$), который прерывался с частотой 1 kHz. Использование сильно поглощаемого света Ar-лазера определя-

лось желанием возбуждать носители преимущественно в ОПЗ. Плотность модулированного возбуждения выбиралась небольшой и составляла 5 mW/cm^2 . Сигнал отклика туннельного тока на модулированное освещение выделялся с помощью синхронного детектора. ВАХ записывались при фиксированном туннельном расстоянии. Освещение образца осуществлялось только в течение записи ВАХ.

Образцы размеров $15 \times 15 \text{ mm}$ вырезались из пластин Si(111) ($0.3\text{--}5 \Omega\cdot\text{cm}$) *n*-типа, легированных фосфором ($N_d = 1 \cdot 10^{15}\text{--}2 \cdot 10^{16} \text{ cm}^{-3}$). Для получения омического контакта образцы дополнительно легировались фосфором с противоположной стороны. Для предварительной подготовки образцов использовалась стандартная процедура очистки поверхности [9]. Непосредственно перед загрузкой в СТМ-камеру для удаления химического окисла и пассивации поверхности пластины кремния обрабатывались в 5% водном растворе плавиковой кислоты в течение 1 min. Такая процедура обработки образцов позволяла получать стабильный, малошумящий туннельный контакт и воспроизводимо записывать топографии поверхности при прямом напряжении на образце более 0.9 V и токах более 0.3 pA. Прямые ветви ВАХ СТМ-контакта с поверхностью, приготовленной по такой методике, имели выраженный диодный характер, что свидетельствует о низкой плотности поверхностных состояний и об отсутствии закрепления уровня Ферми на поверхности. Большой размер пластин позволил избежать влияния краевых эффектов.

2. СТМ-спектроскопия

На рис. 1 приведены обратные ветви ВАХ СТМ-контакта с пассивированной поверхностью кремния *n*-типа. Эти зависимости показывают резкое увеличение обратного тока при некотором «пороговом» напряжении V_{thr} . Величина V_{thr} зависит от ширины туннельного зазора и увеличивается при его росте (кривые 1–4 на рис. 1,*a*). В то же время оптическое возбуждение СТМ-контакта приводит к заметному уменьшению V_{thr} (кривые 1 и 2 на рис. 1,*b*).

После превышения порогового напряжения наблюдается гистерезис обратной ветви ВАХ. При последующем уменьшении напряжения ниже порогового на несколько вольт туннельный ток сохраняет значения на 2–3 порядка больше тех, которые имеют место при первоначальном приложении напряжения (кривые 5–8 на рис. 1,*a* и кривые 3, 4 на рис. 1,*b*). Гистерезис не наблюдается, если обратное смещение не превысило пороговое.

Рис. 2 показывает ВАХ СТМ-контакта с поверхностью кремния *n*-типа при разной интенсивности постоянного освещения области туннельного контакта. Видно, что увеличение интенсивности света приводит к сверхлинейному росту величины туннельного тока при напряжениях обратного смещения более 2 V, тогда как при прямом смещении и малых обратных смещениях ток изменяется незначительно. Изменение характера зависимости туннельного тока от интенсивности света по мере роста обратных напряжений проявляется и в возникновении особенностей в ВАХ в области 1.5–2.0 V.

Наблюдаемое на рис. 1, 2 поведение ВАХ является характерным для всех исследовавшихся нами невырожденных образцов Si разного уровня легирования. Однако было замечено, что увеличение уровня легирования приводило к существенному уменьшению порогового напряжения V_{thr} : от 8.2 V при $N_d = 1 \cdot 10^{15} \text{ cm}^{-3}$ до 2.7 V при $N_d = 2 \cdot 10^{16} \text{ cm}^{-3}$.

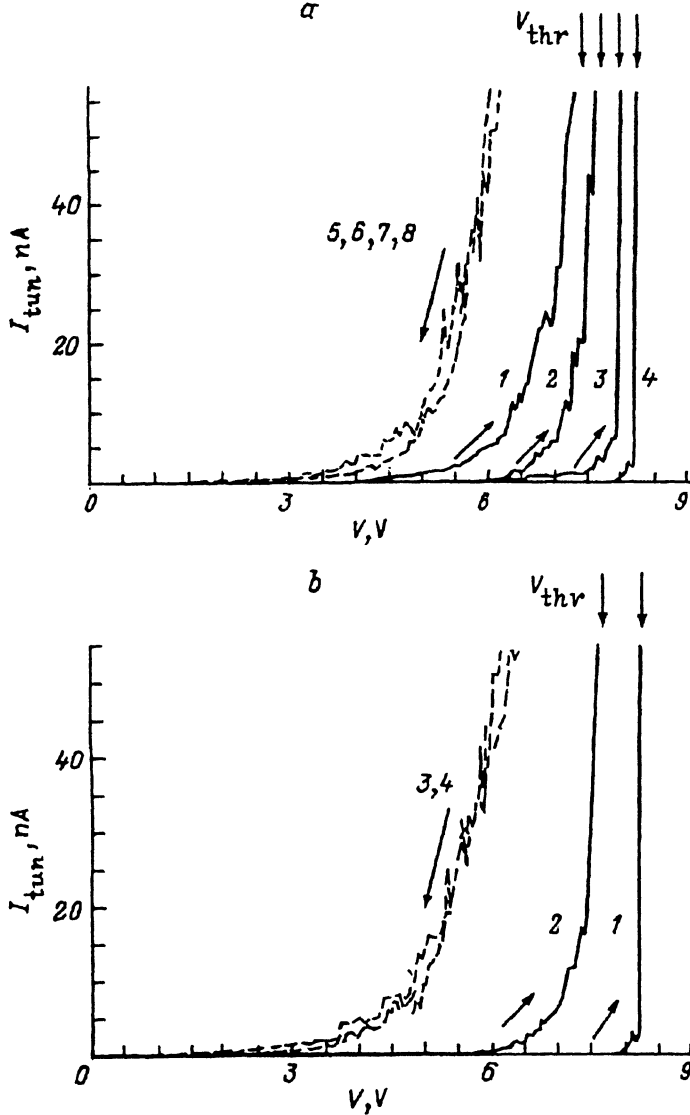


Рис. 1. Гистерезис обратных ветвей ВАХ СТМ-контакта с пассивированной водородом поверхностью кремния ($N_d = 1 \cdot 10^{15} \text{ см}^{-3}$) без освещения (а) и при оптическом возбуждении поверхности светом с энергией кванта вблизи запрещенной зоны кремния (б).

а) 1-4 — при увеличении прикладываемого напряжения, 5-8 — при его уменьшении. Установочный туннельный ток равен 1 нА, установочное напряжение на образце равно: 1 — -0.9 V, 2 — -1.1 V, 3 — -1.3 V, 4 — -1.5 V. Увеличение абсолютной величины установочного напряжения на 0.2 V соответствует увеличению туннельного промежутка на 0.4 нм. б) Плотность оптического возбуждения P_{photo} (mW/cm^2): 1, 3 — 0, 2, 4 — 400. Установочный туннельный ток равен 1 нА, установочное напряжение на образце равно -1.5 V.

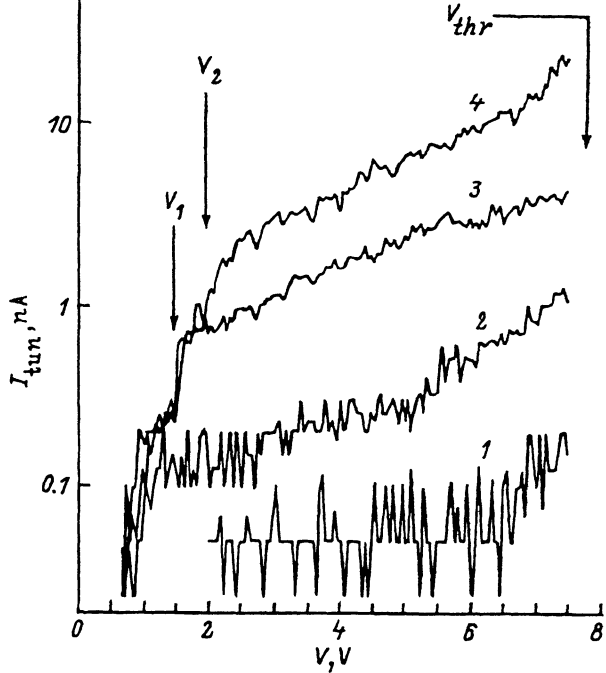


Рис. 2. ВАХ СТМ-контакта с пассивированной водородом поверхностью кремния ($N_d = 1 \cdot 10^{15} \text{ см}^{-3}$) при разной плотности оптического возбуждения.

$P_{\text{photo}} (\text{mW/cm}^2)$: 1 — 0, 2 — 50, 3 — 200, 4 — 400. Установочный туннельный ток равен 0.5 нА, установочное напряжение на образце равно -1.2 В.

Для детального анализа поведения туннельного тока при оптическом возбуждении СТМ-контакта в режиме обратного смещения было прослежено изменение отклика туннельного тока на малое изменение интенсивности непрерывного оптического возбуждения ($\Delta I_{\text{tun}} / \Delta P_{\text{photo}}$) в зависимости от напряжения на структуре (рис. 3). Эта величина аналогична малосигнальному коэффициенту усиления по току (β_d) для транзисторных структур и характеризует относительное увеличение количества носителей, поставляемых в объем полупроводника (величина туннельного тока), по мере увеличения плотности оптического возбуждения. Параметром для кривых является интенсивность непрерывного освещения P_{photo} . Для всех кривых наблюдается немонотонное возрастание величины отклика с увеличением обратного смещения. Первоначально величина отклика слабо зависит от напряжения (область I). Затем, по достижении некоторого напряжения V_1 , происходит резкое увеличение отклика (область II), которое довольно быстро насыщается при $V \approx V_2$ (область III). При значениях напряжения, близких к V_{thr} , наблюдается следующий более резкий рост отклика тока.

Заметим, что увеличение интенсивности непрерывного оптического возбуждения почти на порядок приводит лишь к незначительному изменению величины отклика туннельного тока при малых напряжениях — в области I. Однако при больших напряжениях (области II и III) оптически модулированный ток может как увеличиваться с ростом P_{photo} (рис. 3, а), так и заметно уменьшаться (рис. 3, б).

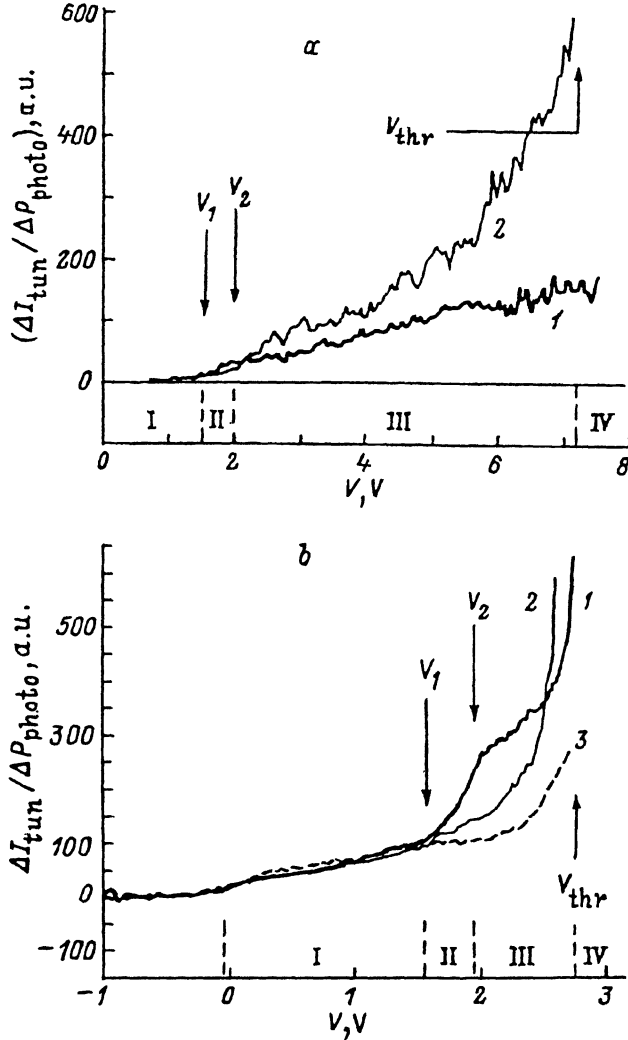


Рис. 3. Зависимости отклика оптически модулированного тока при разных плотностях оптического возбуждения P_{photo} для образцов, отличающихся уровнем легирования.

Установочный туннельный ток равен 0.5 nA , установочное напряжение на образце равно -1.2 V . а) $N_d = 1 \cdot 10^{15} \text{ cm}^{-3}$, $P_{\text{photo}} (\text{mW/cm}^2)$: 1 — 50, 2 — 200, 3 — 400. Границы областей I-IV указаны для кривой 2. б) $N_d = 2 \cdot 10^{16} \text{ cm}^{-3}$, $P_{\text{photo}} (\text{mW/cm}^2)$: 1 — 40, 2 — 160, 3 — 320. Границы областей I-IV указаны для кривой 1.

3. Модель СТМ-контакта

Выполненные ранее исследования прямых ветвей ВАХ СТМ-контакта с пассивированной водородом поверхностью *n*-Si [1] показали, что на приготовленной таким образом поверхности Si не происходит закрепление уровня Ферми и прикладываемое напряжение распределяется между туннельным зазором и ОПЗ. Причем для слабо легированных кристаллов, как было показано для случая СТМ-контакта с пассивированной поверхностью *p*-Si [10], значительная часть прикладываемого обратного напряжения падает на ОПЗ. Отмеченные обстоятельства предопределяют большое сходство свойств СТМ-контакта с пассивированной поверхностью кремния и туннельных МОП-структур на основе кремния. Ранее для туннельных МОП-структур в режиме обратного смещения уже наблюдались эффекты переключения в высокопроводящее состояние, а также пелинейное изменение сквозного тока при введении дырок в приповерхностный слой полупроводника с инверсным типом проводимости [11, 12]. В основе этих эффектов лежит накопление дырок у поверхности, приводящее к увеличению падения напряжения на туннельно прозрачном окисле.

Можно было ожидать, что это же обстоятельство обуславливает и наблюдаемые нами нелинейные эффекты в обратных ветвях ВАХ СТМ-контакта с пассивированной поверхностью кремния. В то же время специфическая форма ОПЗ под точечным СТМ-контактом и связанная с этим неоднородность электрического поля в полупроводнике могут привести к видоизменению наблюдаемых эффектов.

Рассмотрим зонную диаграмму туннельного контакта вольфрамового острия СТМ с пассивированной поверхностью кремния *n*-типа (рис. 4, *a*). Из-за разницы между работой выхода металла ($\Phi_M = 4.5 \text{ eV}$) и величиной химического сродства кремния ($X = 4.05 \text{ eV}$) в приповерхностной области полупроводника формируется изгиб зон. Величина этого изгиба зон V_d равна $0.4\text{--}0.5 \text{ eV}$ [1], а ширина ОПЗ определяется концентрацией ионизованных доноров и для исследовавшихся невырожденных кристаллов кремния составляет доли микрона.

Приложение к СТМ-контакту прямого смещения уменьшает начальный изгиб зон, что приводит к экспоненциальному нарастанию тока, детально исследованному в [1].

Приложение к СТМ-контакту обратного смещения ведет к увеличению изгиба зон вблизи острия СТМ и одновременно к смещению уровня Ферми в металле вверх. В этом случае основными процессами, определяющими природу тока в СТМ-контакте, следует считать следующие.

1) Туннелирование электронов в валентную зону кремния, которое можно рассматривать как уход дырок из полупроводника в металл.

2) Туннелирование электронов прямо в зону проводимости кремния, резко усиливающееся при превышении уровнем Ферми в металле положения края зоны проводимости на поверхности кремния (рис. 4*b*–*d*). При еще более высоких положениях уровня Ферми в металле возможна инъекция в зону проводимости Si «горячих» электронов, обусловливающих генерацию в ОПЗ дополнительных электронов и дырок за счет ударной Оже-ионизации (рис. 4,*d*).

3) Диффузия дырок в объем кремния. Эффективность этого канала уменьшения концентрации дырок на поверхности существенным обра-

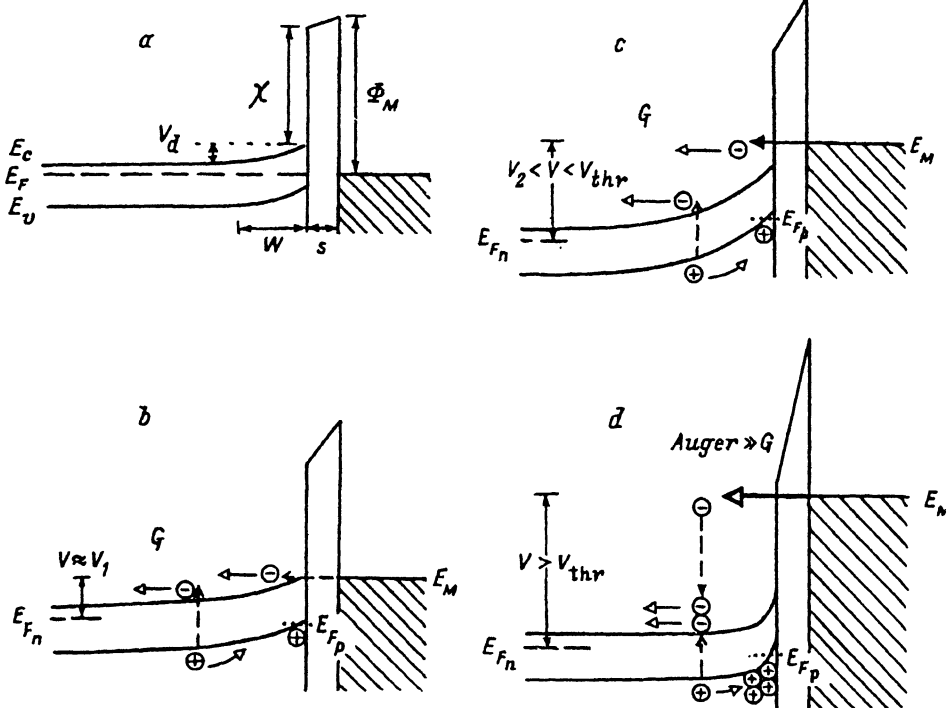


Рис. 4. Изменения зонной диаграммы туннельного контакта вольфрамового остряя СТМ с пассивированной водородом поверхностью невырожденного n -Si по мере увеличения обратного смещения на контакте.

a — смещение не приложено, *b-d* соответствуют различным характерным положениям уровня Ферми в металле относительно дна зоны проводимости на поверхности полупроводника. *G* обозначает генерацию носителей в результате термо- и оптического возбуждения.

зом зависит от относительного положения квазиуровней Ферми для дырок E_{Fp} и электронов E_{Fn} на поверхности и в объеме полупроводника. Случаю подавления диффузии дырок в объем кремния соответствует зонная диаграмма, изображенная на рис. 4,с.

Учитывая рассмотренные выше особенности обратносмещенного СТМ-контакта и принимая во внимание возможность накопления дырок вблизи поверхности полупроводника, можно объяснить все наблюдавшиеся нелинейные свойства изучаемого контакта.

Действительно, рост концентрации дырок у поверхности должен вызывать усиление поля в туннельном зазоре, обусловливать дальнейший сдвиг уровня Ферми в металле вверх относительно дна зоны проводимости в Si и, как результат, приводить к нарастанию потока электронов в зону проводимости, как это и наблюдается на рис. 2,3.

При приложении достаточно больших смещений, а также при сильном освещении туннелирующие электроны оказываются уже достаточно «горячими» для того, чтобы вызывать межзонную Оже-ионизацию в кремнии, как это наблюдалось в туннельных МОП-структурах [7]. В приповерхностном поле ОПЗ вновь рожденные носители разделяются: электроны выносятся в объем полупроводника, а дырки — на поверхность, увеличивая концентрацию уже имевшихся там дырок и еще более усиливая поле в туннельном зазоре. Возникшая при этом положи-

тельная обратная связь вызывает резкое переключение СТМ-контакта в высокопроводящее состояние, в котором увеличение числа дырок за счет Оже-ионизации компенсируется возросшими потерями дырок за счет туннелирования в металл и диффузии в объем полупроводника. При этом возникнет самоподдерживающееся состояние, которое будет сохраняться и при уменьшении приложенного напряжения до тех пор, пока Оже-ионизация еще будет достаточной для поддержания этого состояния. Таким образом, наблюдаемый на рис. 1, а, б гистерезис обратной ветки ВАХ СТМ-контакта, очевидно, является непосредственным свидетельством факта накопления неосновных дырок вблизи пассивированной поверхности n -Si в СТМ-контакте.

Возможность накопления дырок вблизи поверхности и та роль, которую они могут играть, зависят от многих параметров СТМ-контакта, в частности от величины приложенного напряжения, ширины туннельного зазора, уровня легирования Si и др. Рассмотрим проявление некоторых из этих факторов в поведении СТМ-контакта при оптическом возбуждении.

4. Поведение СТМ-контакта при оптическом возбуждении

Оптическое возбуждение полупроводника приводит к генерации неосновных носителей заряда, значительно более эффективной, чем термогенерация. Дополнительное поступление дырок к поверхности за счет оптической генерации в ОПЗ вызывает дополнительное смещение вверх уровня Ферми в металле относительно энергетических зон кремния и способствует созданию условий для инъекции электронов в зону проводимости.

При фиксированной интенсивности постоянного освещения увеличение от нуля обратного напряжения на СТМ-контакте приводит к тому, что он проходит через последовательность режимов I-II(реже II*)-III-IV, систематизированных в таблице и характеризуемых далее. Границы режимов достаточно отчетливо различимы на ВАХ, приведенных на рис. 2. Более определенно можно выделить соответствующие области напряжений на зависимостях отклика оптически модулированного тока $\beta_d = \Delta I_{tun} / \Delta P_{photo}$ от напряжения на рис. 3.

Возможные режимы работы СТМ-контакта с пассивированной водородом поверхностью кремния n -типа при увеличении обратного смещения

Режим	Границы режима	Название режима	Инъекция в зону проводимости	Оже-ионизация	Диффузия дырок в объем
I	$0 - V_1(V_1^*)$	Фотодиодный	Нет	Нет	Есть
II	$V_1 - V_2$	Транзисторное насыщение	Есть	Возможна	Есть
II*	$V_1^* - V_2^*$	Фотодиодный дополнительный	Нет	Нет	Нет
III	$V_2(V_2^*) - V_{thr.}$	Транзисторный активный	Есть	Возможна	Нет
IV	более $V_{thr.}$	«Включенный»	Есть	Есть	Есть

Как следует из рассмотрения энергетической зонной диаграммы туннельного СТМ-контакта (рис. 4, б), для инжекции электронов в зону проводимости требуется, чтобы падение напряжения на туннельном зазоре было порядка 0.5 В. При небольших обратных смещениях достижение такой величины падения напряжения затруднено из-за сильной диффузии дырок в объем ($E_{Fn} > E_{Fp}$), ограничивающей возможную концентрацию дырок вблизи поверхности. В результате не удается осуществить инжекцию электронов в зону проводимости кремния. Поэтому можно ожидать, что под воздействием света обратный ток СТМ-контакта будет слабо меняться (реализуется фотодиодный режим), что и наблюдается в области I на рис. 2, 3.

В областях II и III СТМ-контакт находится уже в «транзисторном» режиме, когда имеет место инжекция электронов в зону проводимости, о наступлении которой свидетельствует резкое нарастание протекающего через контакт тока при $V \geq V_1$ на рис. 2. В этой же области напряжений возникает и сверхлинейная зависимость тока от интенсивности оптического возбуждения (рис. 3, а, б). Ее появление естественно объяснить сильной зависимостью тока инжекции в зону проводимости от напряжения на туннельном зазоре, возрастающем при фотогенерации дырок. В «транзисторной» терминологии II — это режим насыщения, а III — активный режим. Для области II все еще имеет место $E_{Fp} < E_{Fn}$ и часть генерируемых дырок теряется из-за диффузии в объем кремния, тогда как для области III $E_{Fp} > E_{Fn}$ и единственным каналом потери дырок является их туннелирование в металл. Отметим, что область II отличается от области I меньшим значением разности квазиуровней Ферми и меньшей величиной диффузионного тока дырок. Следствием этого является (при той же интенсивности света) создание более высоких концентраций дырок вблизи поверхности. В областях II и III возможна также Оже-ионизация, но ее роль относительно невелика.

При больших смещениях, превышающих V_{thr} , достигается область IV, в которой концентрация дырок под острием СТМ резко увеличивается из-за развития Оже-ионизации в ОПЗ и происходит переключение СТМ-контакта в высокопроводящее состояние. В этом режиме рост тока (напряжения на туннельном зазоре) ограничен только диффузией дырок в объем кремния.

Отметим одну особенность, характерную для СТМ-контакта, но не для туннельной МОП-структурь. В режиме III («активном» режиме транзистора) как рост тока, так и рост β_d , хотя и замедляется по сравнению в областью II, но остается весьма сильным (из-за чего не всегда можно точно указать величину напряжения V_2). В туннельных МОП-структурь в области III и ток, и β_d меняются весьма слабо [12]. Одну из причин более сильного роста обратного тока при оптическом возбуждении в случае СТМ-контакта можно видеть в специфике его геометрии. При увеличении приложенного смещения расширение ОПЗ происходит не только в глубину полупроводника (как это имеет место в туннельных МОП-структурь), но и вдоль его поверхности. Это приводит к дополнительному увеличению области сбора фотогенерированных дырок с ростом величины смещения.

Из сравнения рис. 3, а и б видно, что увеличение уровня легирования кремния вызывает сильное уменьшение порогового напряжения V_{thr} . Этот эффект, по-видимому, обусловливается прежде всего увеличением вклада заряда ионизированной примеси в создание поля в туннельном

зазоре СТМ-контакта. Кроме того, возрастание напряженности электрического поля в ОПЗ в более легированном кристалле увеличивает вероятность возникновения Оже-ионизации из-за дополнительного «разогрева» инжектируемых электронов в ОПЗ. Оба эти обстоятельства приводят к возрастанию относительного вклада Оже-ионизации в баланс токов и понижают напряжение «переключения» V_{thr} . Аналогичный эффект наблюдался и для туннельных МОП-структур.

СТМ-контакт является системой, очень чувствительной к изменению параметров: уровня легирования кремния, интенсивности освещения, величины туннельного промежутка, качеству обработки поверхности кремния и др. Поэтому возможно большое разнообразие характеристик. В частности, возможна ситуация (характерная для малых величин туннельного промежутка и/или слабого освещения), когда (с увеличением напряжения на структуре) диффузия дырок в объем кремния прекращается раньше, чем начинается инжекция электронов в зону проводимости ($E_{Fp} \geq E_{Fn}$, $E_M < E_c$ где E_c — энергия дна зоны проводимости Si у поверхности). Тогда вместо режима II должен реализовываться режим II*, упомянутый в таблице. Возможно, такая ситуация имеет место для случая, показанного на рис. 1, а, который отвечает наблюдению гистерезиса в отсутствие освещения.

Обратим еще внимание на различное поведение β_d с ростом P_{photo} при одном и том же напряжении в «транзисторных» режимах. Из рис. 3 следует, что в области II β_d падает, тогда как в области III может расти (рис. 3, а) или же вести себя сложным образом (рис. 3, б). Спад β_d в области II при увеличении P_{photo} связан с возрастанием тока диффузии дырок в объем, ограничивающим накопление дырок у поверхности, так что контакт оказывается в более «глубоком» транзисторном насыщении [12, 13]. В то же время рост β_d в области III может быть связан, в частности, с возрастанием роли Оже-процесса как внутреннего источника дырок. Именно так объяснялось увеличение коэффициента усиления в туннельных МОП-структурках [7, 12]. Однако заметим, что этот рост β_d наблюдался не во всех исследованиях туннельных МОП-транзисторов [14].

Таким образом, проведенные исследования обратных ВАХ СТМ-контакта с пассивированной водородом поверхностью n -Si показали существование у такого контакта транзисторного режима работы. Его возникновение связано с выявленной возможностью накопления у пассивированной поверхности n -Si неосновных носителей — дырок. Использование оптического возбуждения, способного существенно увеличивать концентрацию дырок у поверхности, позволяет изменять инжекцию электронов в полупроводник и таким образом управлять работой СТМ-контакта в транзисторном режиме.

Приложение больших обратных смещений, а также сильное оптическое возбуждение СТМ-контакта обусловливают инжекцию в Si горячих электронов, обладающих энергией, достаточной для Оже-ионизации в ОПЗ. С этим эффектом связано переключение СТМ-контакта в устойчивое высокопроводящее состояние и возникновение гистерезиса ВАХ.

Полученные результаты указывают на существование глубокой аналогии между свойствами СТМ-контакта с полупроводниковой поверхностью и свойствами туннельных МОП-структур и, в частности, позволяют рассматривать такой СТМ-контакт как точечный Оже-транзистор с туннельным МОП-эмиттером.

Авторы выражают благодарность за частичную поддержку этой работы Российскому фонду фундаментальных исследований и Международному научному фонду (ISF).

Список литературы

- [1] Kaiser W.J., Bell L.D. J. Vac. Sci. Technol. **A6**, 2, 519 (1988).
- [2] Берковиц В.Л., Иванцов Л.Ф., Макаренко И.В., Львова Т.В., Сафаров В.И. ФТП **25**, 3, 379 (1991).
- [3] Silver R.M., Dagata J.A., Tseng W. J. Appl. Phys. **76**, 9, 5122 (1994).
- [4] Gwo S., Smith A.R., Shih S.K., Sadra K., Streetman B.G. Appl. Phys. Lett. **61**, 9, 1104 (1992).
- [5] Weimer M., Kramar J., Baldeschwieler J.D. Phys. Rev. **B39**, 8, 5572 (1989).
- [6] Bolotov L.N., Makarenko I.V., Shulekin A.F., Titkov A.N. Surf. Sci. **331-333**, 468 (1995).
- [7] Грехов И.В., Остроумова Е.В., Рогачев А.А., Шулекин А.Ф. Письма в ЖТФ **17**, 13, 44 (1991).
- [8] Болотов Л.Н., Козлов В.А., Макаренко И.В., Титков А.Н. ФТП **27**, 8, 1375 (1993).
- [9] Ishizaka A., Shiraki Y. J. Electrochem. Soc. **133**, 4, 666 (1986).
- [10] Bolotov L.N., Makarenko I.V., Titkov A.N., Shulekin A.F. Abstracts of the 22nd Int. Conference on the Physics of Semiconductors. Vancouver. Canada (1994). V. 1. 463 с.
- [11] Lai S.K., Dressendorfer P.V., Ma T.P., Barker R.C. Appl. Phys. Lett. **38**, 1, 41 (1981).
- [12] Grekhov I.V., Shulekin A.F., Vexler M.I., Ext. Abstracts of the Int. Conf. on Solid State Devices & Materials (SSDM-94). Yokohama. Japan. (1994). 535 с.
- [13] Зи С. Физика полупроводниковых приборов. М. (1984). Т. 1. С. 187.
- [14] Yoshimoto T., Suzuki K. Jpn. J. Appl. Phys. **32**, 2, L180 (1993).